



(19)中華民國智慧財產局

(12)發明說明書公告本 (11)證書號數：TW I567087 B

(45)公告日：中華民國 106 (2017) 年 01 月 21 日

(21)申請案號：104118842

(22)申請日：中華民國 104 (2015) 年 06 月 11 日

(51)Int. Cl. : C07H21/04 (2006.01)

G01N21/64 (2006.01)

(71)申請人：高雄醫學大學(中華民國) KAOHSIUNG MEDICAL UNIVERSITY (TW)  
高雄市三民區十全一路 100 號

(72)發明人：吳秀梅 WU, SHOU MEI (TW) ; 陳俊安 CHEN, CHUNG AN (TW)

(74)代理人：林文杰

(56)參考文獻：

JP 2007-228803A

Zhihe Qing et al. dsDNA-specific fluorescent copper nanoparticles as a "green" nano-dye for polymerization-mediated biochemical analysis. *Chem. Commun.*, 2014, 50, 12746-12748.

Rong Hu et al. Double-strand DNA-templated formation of copper nanoparticles as fluorescent probe for label free nucleic enzyme detection. *Biosens Bioelectron.* 2013 Apr 15;42:31-5.

審查人員：陳逸霖

申請專利範圍項數：6 項 圖式數：9 共 26 頁

(54)名稱

用於偵測樣本中目標DNA的寡核苷酸及方法

OLIGONUCLEOTIDE AND METHOD FOR DETECTING TARGET DNA IN A SAMPLE

(57)摘要

本發明提供一寡核苷酸，其包含一由 SEQ ID NO : 1 所組成的核苷酸序列。本發明亦提供以該寡核苷酸用於一樣本中偵測目標DNA的方法。

The invention provides an oligonucleotide comprising a nucleotide sequence consisting of SEQ ID NO: 1. The invention also provides method for detecting target DNA in a sample with the oligonucleotide.

指定代表圖：

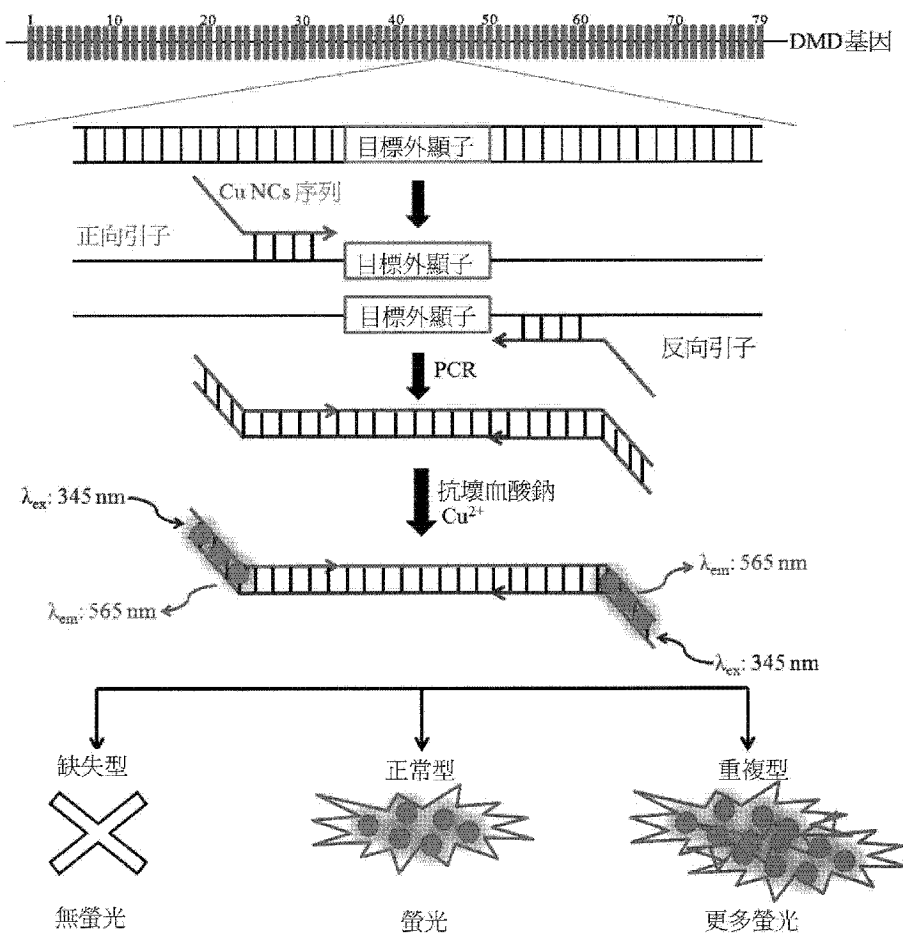


圖 1

**公告本****發明摘要**

※ 申請案號：(04118842)

C07H 21/04 (2006.01)

※ 申請日：(04.6.11)

※IPC 分類：G01N 21/64 (2006.01)

**【發明名稱】(中文/英文)**

用於偵測樣本中目標 DNA 的寡核苷酸及方法 / OLIGONUCLEOTIDE AND  
METHOD FOR DETECTING TARGET DNA IN A SAMPLE

**【中文】**

本發明提供一寡核苷酸，其包含一由 SEQ ID NO: 1 所組成的核苷酸序列。本發明亦提供以該寡核苷酸用於一樣本中偵測目標 DNA 的方法。

**【英文】**

The invention provides an oligonucleotide comprising a nucleotide sequence consisting of SEQ ID NO: 1. The invention also provides method for detecting target DNA in a sample with the oligonucleotide.

**【代表圖】**

**【本案指定代表圖】：**第（ 1 ）圖。

**【本代表圖之符號簡單說明】：**

無。

# 發明專利說明書

(本說明書格式、順序，請勿任意更動)

## 【發明名稱】(中文/英文)

用於偵測樣本中目標 DNA 的寡核苷酸及方法 / OLIGONUCLEOTIDE AND METHOD FOR DETECTING TARGET DNA IN A SAMPLE

## 【技術領域】

【0001】 本發明係關於一寡核苷酸及用於一樣本中偵測目標 DNA 的方法。

## 【先前技術】

【0002】 近來有一些貴金屬奈米粒子使用 DNA 作為螢光金屬奈米粒子 (nanoparticles, NPs) 或奈米團簇 (nanoclusters, NCs)，是透過金屬離子結合於 DNA 上及後續 DNA 複合金屬離子的化學還原形成。因此，以 DNA 為模板的螢光金屬 NPs 或 NCs 作為生物化學應用的螢光探針具有極大的潛力，因為其超微細尺寸、低毒性、良好生物相容性、傑出的光物理性質的優點，以及靈活整合以核酸為基礎的目標辨識能力與訊號放大機制。

【0003】 相較於其他現有螢光金屬 NPs，以 DNA 為模板的銅 NPs (CuNPs)，包括分別由 Mokhir et al. 與 Wang et al. 發表的以隨機雙股 DNA 為模板的 CuNPs (double-stranded DNA-templated CuNPs, dsDNA-CuNPs) 與以聚 (胸腺嘧啶) 為模板的 CuNPs (poly T-CuNPs)。其形成可源自  $Cu^0$  在 DNA 骨架上的高親和力聚集，係透過溶液中的  $Cu^{2+}$  及還原劑之間的化學反應所形成。此外，CuNPs 的合成是高效率、簡便且快速（在室溫下約 5 分鐘），因此奠定了其在生物感測廣泛應用的基礎。

**【0004】** 本發明提供一寡核苷酸，其包含一由 SEQ ID NO: 1 所組成的核苷酸序列。

**【0005】** 本發明提供一用於一樣本中偵測目標 DNA 的方法，其包含提供一第一引子，其具有一與該目標 DNA 的一部份互補並可與其雜合的 3' 端及一包含一由 SEQ ID NO: 1 所組成的核苷酸序列的 5' 端；及一第二引子，其具有一與該目標 DNA 的一部份互補並可與其雜合的 3' 端及一包含該由 SEQ ID NO: 1 所組成的核苷酸序列的 5' 端；利用該第一引子與該第二引子 PCR 擴增該目標 DNA；將一包含銅離子的溶液及一還原試劑加入該 PCR 擴增的一產物以與該由 SEQ ID NO: 1 所組成的核苷酸序列形成一奈米銅粒子，其造成螢光放射；及偵測該螢光放射。

### **【發明內容】**

**【0006】** 本發明建立一靈敏、專一性且易於辨別目標 DNA 的生物感測方法。

**【0007】** 本發明提供一寡核苷酸，其包含一由 SEQ ID NO: 1 所組成的核苷酸序列。該寡核苷酸進一步與銅離子形成一奈米銅粒子並發出螢光。

**【0008】** 本發明提供一用於一樣本中偵測目標 DNA 的方法，其包含提供一第一引子，其具有一與該目標 DNA 的一部份互補並可與其雜合的 3' 端及一包含一由 SEQ ID NO: 1 所組成的核苷酸序列的 5' 端；及一第二引子，其具有一與該目標 DNA 的一部份互補並可與其雜合的 3' 端及一包含該由 SEQ ID NO: 1 所組成的核苷酸序列的 5' 端；利用該第一引子與該第二引子 PCR 擴增該目標 DNA；將一包含銅離子的溶液及一還原試劑加入

該 PCR 擴增的一產物以與該由 SEQ ID NO: 1 所組成的核苷酸序列形成一奈米銅粒子，造成螢光放射；及偵測該螢光放射。

**【0009】** 在一實施例中，該包含銅離子的溶液為 CuSO<sub>4</sub> 溶液。

**【0010】** 在另一實施例中，該還原試劑為抗壞血酸鈉。

**【0011】** 在另一實施例中，該目標 DNA 為一目標基因之一外顯子。

**【0012】** 在另一實施例中，該目標基因係針對裘馨氏肌肉萎縮症 (Duchenne muscular dystrophy, DMD)。

### 【圖式簡單說明】

**【0013】** 圖 1 顯示依據 dsDNA-CuNCs 用於分析 PCR 反應之基因型的感測步驟之示意圖。

**【0014】** 圖 2(A)所得的 dsDNA-CuNCs 的螢光激發(藍線)與發射(紅線)光譜；(B) 在不同條件下該感測系統的螢光光譜：(a) 正常外顯子 46 (PCR 之後)；(b) 空白外顯子 46 (PCR 之後)；(c) 外顯子 46 正向引子；(d) 外顯子 46 反向引子；(e) 10 mM MOPS + 150 mM NaCl；(f) 10 mM MOPS + 150 mM NaCl (未與銅離子及抗壞血酸鈉反應)；Cu<sup>2+</sup>濃度：500 μM；抗壞血酸鈉濃度：4 mM。

**【0015】** 圖 3 顯示真實 DNA 樣本所得的 dsDNA-CuNCs 之穿透式電子顯微鏡 (TEM) 圖：(A) 無 DNA，(B) 正常型 (normal type)，(C) 缺失型 (deletion type)，(D) 重複型 (duplication type)。

**【0016】** 圖 4 顯示引子的濃度對 PCR 反應中 dsDNA-CuNCs 的螢光的影響。(A) 120 nM 之正向與反向引子；(B) 160 nM 之正向與反向引子；(C)

200 nM 之正向與反向引子。(a) 重複型 (Duplication type)；(b) 正常型 (Normal type)；(c) 缺失型 (Deletion type)；(d) 空白組。其他條件與圖 2 相同。

**【0017】** 圖 5 顯示 PCR 的循環數對 dsDNA-CuNCs 的螢光的影響。  
(A) 30 循環；(B) 35 循環；(C) 40 循環。(a) 重複型 (Duplication type) (b) 正常型 (Normal type)；(c) 缺失型 (Deletion type)；(d) 空白組。其他條件與圖 2 相同。

**【0018】** 圖 6 顯示  $\text{Cu}^{2+}$  濃度對 dsDNA-CuNCs 的螢光的影響。(A) 250  $\mu\text{M}$ ；(B) 500  $\mu\text{M}$ ；(C) 1000  $\mu\text{M}$ 。(a) 重複型 (Duplication type) (b) 正常型 (Normal type)；(c) 缺失型 (Deletion type)；(d) 空白組。其他條件與圖 2 相同。

**【0019】** 圖 7 顯示抗壞血酸濃度對 dsDNA-CuNCs 的螢光的影響。(A) 2 mM；(B) 4 mM；(C) 6 mM。(a) 重複型 (Duplication type) (b) 正常型 (Normal type)；(c) 缺失型 (Deletion type)；(d) 空白組。其他條件與圖 2 相同。

**【0020】** 圖 8 顯示在  $\lambda_{\text{em}} = 565 \text{ nm}$  ( $\lambda_{\text{ex}} = 345 \text{ nm}$ ) 下探討 CuNCs 穩定性隨反應時間的變化。

**【0021】** 圖 9 顯示臨床試驗中不同 DMD 外顯子的 dsDNA-CuNCs 檢測的效果。(A) 外顯子 45；(B) 外顯子 47。(a) 重複型 (Duplication type) (b) 正常型 (Normal type)；(c) 缺失型 (Deletion type)；(d) 空白組。其他條件與圖 2 相同。

【0022】 材料

【0023】 一種包含一由 SEQ ID NO: 1 所組成的核苷酸序列的寡核苷酸係嵌入用於目標基因 (DMD) 外顯子之引子的 5' 端。所得到的寡核苷酸序列為 SEQ ID NO: 2 至 SEQ ID NO: 7。所有寡核苷酸係購自 MD Bio, Inc (台北, 台灣), 並以溶於無菌 H<sub>2</sub>O 之 100 μM 原液 (stock solution) 儲存在 -20°C。3-嗎啉基丙-1-磺酸 (3-morpholinopropane-1-sulfonic acid, MOPS)、3-(N-嗎啉基)丙磺酸鈉鹽 (3-(N-Morpholino) propanesulfonic acid sodium salt, MOPS sodium salt)、(+)-L-抗壞血酸鈉 (Sodium L-ascorbate) 及 CuSO<sub>4</sub> 係購自 SigmaAldrich (Sigma, St. Louis, MO, USA)。氯化鈉 (NaCl)、鹽酸 (HCl)、氫氧化鈉 (NaOH) 係來自 E. Merck (Darmstadt, Germany)。二次蒸餾水係取自 Milli-Q 純水系統 (Millipore, Milford, MA, USA)。

【0024】 PCR 的檢測步驟及感測器製備

【0025】 PCR 最終體積為 50 μL, 包含 50 ng 之基因體 DNA、2.5 mM dNTP (TaKaRa, Shiga, Japan)、1× PCR 緩衝液 (TaKaRa)、每一引子 160 nM 及 2.0 U 之 e2TAK DNA 聚合酶 (TaKaRa) 的混合物。PCR 擴增係於 Tprofessional Thermocycler (Biometra, Göttingen, Germany) 中執行, 初始變性 (denaturation) 步驟在 95°C 進行 10 分鐘, 接著以下步驟進行 35 個循環: 在 95°C 變性 30 秒、在 59°C 降溫 (annealing) 15 秒、在 72°C 延展 (extension) 30 秒及在 72°C 進行 10 分鐘的最終延展步驟。在 PCR 循環完成後, 將產物與含有 150 mM NaCl 之 10 mM MOPS 緩衝液混合, 然後將 4 mM 抗壞血酸鈉及 500 μM CuSO<sub>4</sub> 加入該溶液以得到最終 200 μL 之體積, 並使其在室溫反應 3 分鐘。

**【0026】 設備**

【0027】 螢光測量係於 F-4500 螢光光譜儀 (Hitachi, Japan) 執行，分別將激發及發射狹縫設定為 5.0 nm 及 20 nm。掃描速度設定為 240 nm/min。使用具有光學路徑長度 1.0 cm 之石英螢光槽。除非另有說明，所有測量係在室溫下執行。該系統的螢光發射係從 500 至 650 nm 紀錄在 345 nm 的激發波長。穿透式電子顯微鏡法 (TEM) 測量係於 JEOL JEM-1400 穿透式電子顯微鏡 (JEOL, Japan) 上進行，在 100 kV 操作。TEM 樣本係於碳塗覆的銅柵基質 (carbon-coated copper grid substrates) 上製備，然後在室溫下於烘箱中烘烤。

**【0028】 真實樣本應用**

【0029】 來自 DMD 患者及正常個體的 DNA 樣本係由高雄醫學大學附設中和紀念醫院取得。根據標準作業程序，利用基因體 DNA 純化套組 (ZYMO RESEARCH, Quick-gDNA MiniPrep-D3024, USA) 自末梢全血 (peripheral whole blood) 採集基因體 DNA。本研究已取得高雄醫學大學附設醫院人體試驗審查委員會核准，並招募參與者及執行人體試驗。已從所有參與者取得知情同意書。

**【0030】 結果****【0031】 用於 DMD 之外顯子偵測的生物感測器之設計及原理**

【0032】 本研究的原理如圖 1 所示。設計可形成 dsDNA 及螢光 CuNCs 的引子序列。根據該作用機制，使用正常型基因體 DNA 之成功的 PCR 反應，其 PCR 產物可在室溫並於目前緩衝液條件下形成一穩定的雙鏈 (duplex)，可作為以抗壞血酸鈉還原  $\text{Cu}^{2+}$  所反應形成 CuNCs 的模板。因

此，該形成的 dsDNA-CuNCs 複合物將產生可被偵測的高強度螢光。另一方面，當使用缺失型基因體 DNA 時，無法形成 dsDNA-CuNCs，因而該 PCR 反應無法成功產生螢光而無法被偵測。然而，使用重複型基因體 DNA，螢光會比正常型基因體 DNA 的強度更高。基於此概念，可更輕易地辨別該外顯子為缺失型或重複型。

**【0033】** 該 dsDNA 為模板的 CuNCs 係根據先前的報告來合成。所得的螢光 CuNCs 分別在 345 與 565 nm 有激發和發射波峰（圖 2A）。因此，需證實形成 dsDNA 對於螢光的產生是必要的，而在不同條件下測試該感測系統的螢光光譜。由結果可觀察到，成功的 PCR 反應中會形成 CuNCs 而產生螢光訊號。在其他條件中，即使該引子存在於 PCR 反應中且緩衝液中有銅離子與抗壞血酸也不會產生螢光。另一方面，亦可確認背景值在反應中不會產生任何干擾，其改善的 S/N 比值以進行訊號區別（圖 2B）。可表示 CuNCs 不會在 dsDNA 或 ssDNA 模板存在下形成，提供用於 dsDNA-CuNCs 區分 dsDNA 與 ssDNA 良好的選擇性，並有助於在 DMD 診斷中辨別出缺失或重複的基因型。

**【0034】** 該 CuNCs 係以穿透式電子顯微鏡（TEM）觀察，可測定及鑑定 CuNCs，並可支持在低濃度 CuSO<sub>4</sub> 下形成奈米粒子。在沒有真實 DNA 樣本時可觀察到，該 dsDNA-CuNCs 形成主要約小於 10 nm 的粒子大小。由此結果，CuNCs 之燒結顯著呈現於圖 3 中。圖 3(A) 無 DNA 樣本與銅離子及抗壞血酸鈉反應，可觀察到很少 CuNCs 產生。對於缺失型而言，可觀察到一些 CuNCs 燒結的情形，但不明顯，只形成一些 CuNCs（圖 3C）。

**【0035】** 圖 3(B)至 3(D) 為 PCR 反應後正常、缺失及重複型的 DNA

樣本，並以螢光分光光度計（fluorescent spectrophotometer）測量。因此，可清楚觀察到圖 3(B)中 CuNCs 的粒徑大小，及圖 3(D)中重複型樣本明顯的燒結情形。基於上述結果，螢光與 CuNCs 形成的量有對應關係。因此，可證實本研究的機制，且在正常、缺失及重複型的真實 DNA 樣本中呈現不同的螢光強度（圖 3）。

#### 【0036】 PCR 反應最佳化

【0037】 在本發明中，PCR 反應在 CuNCs 序列的量扮演重要角色。已有報告指出 dsDNA 可作為有效的模板，且形成的 CuNCs 具有良好的螢光，而 ssDNA 則不支持奈米粒子形成。在本實驗中，PCR 反應成功產生互補的 PCR 引子，以形成 dsDNA 並產生螢光 CuNCs。由於這個原因，我們將引子的濃度和 PCR 反應循環數最佳化。圖 4 顯示本研究引子濃度的結果。根據 PCR 原理，成功的反應需要適當的引子濃度。當加入不足的引子時，PCR 的產物會形成 CuNCs 並產生弱螢光，如圖 4(A)所示。因此，我們使用 160 nM 之引子並得到一最佳化結果於圖 4 (B)。圖 4 (C) 證實當使用太多引子時，空白組也會有一些螢光，因為產生一些非專一性的 PCR 產物。最終，在 PCR 反應使用 160 nM 的引子濃度。

【0038】 PCR 循環的次數對於會影響 PCR 產物的產率的因素有影響。我們分別測試了 30、35 及 40 個循環。結果顯示 30 個循環產生不足量的螢光強度。在 40 個循環中，空白組會顯示部份螢光訊號。因此，選擇 35 個循環作為最佳化的條件（圖 5）。

#### 【0039】 $\text{Cu}^{2+}$ 離子濃度最佳化

【0040】  $\text{Cu}^{2+}$ 離子的效果是影響 PCR 產物中 dsDNA-CuNCs 螢光的

重要因子。Morkhir et al.指出 dsDNA-CuNCs 可由以下步驟形成：二價銅 (copper (II)) 反應還原成一價銅 (copper (I))，接著一價銅 (copper (I)) 經歧化反應成為二價銅 (copper (II)) 及零價銅 (copper (0))，後者會聚集在 dsDNA 上產生穩定的奈米粒子。根據該結果，圖 6 (A)顯示使用  $250 \mu\text{M Cu}^{2+}$  時得到弱螢光，且在  $500 \mu\text{M}$  及  $1000 \mu\text{M Cu}^{2+}$  離子之間無顯著差異。然而，先前報告指出二價銅複合物會透過在與還原劑反應後的氧系自由基 (oxygen-based radicals) 切斷 DNA。當  $\text{Cu}^{2+}$  濃度高於  $500 \mu\text{M}$ ， $\text{Cu}^{2+}$ /抗壞血酸鈉混合物會產生羥基自由基 (hydroxyl radical)，造成雙股 DNA 螺旋的破壞。因此，在所有後續實驗中選擇濃度  $500 \mu\text{M}$  的  $\text{Cu}^{2+}$ 。

#### 【0041】抗壞血酸濃度最佳化

【0042】由於高濃度的  $\text{Cu}^{2+}$ /抗壞血酸混合物會產生羥基自由基並導致 dsDNA 模板的降解。另探討抗壞血酸鈉的濃度。結果顯示於圖 7，觀察到在抗壞血酸濃度為  $4 \text{ mM}$  時可達到最高的螢光訊號。然而，當抗壞血酸濃度高於  $4 \text{ mM}$ ，螢光強度會隨著抗壞血酸濃度增加而減低。因此，本發明使用  $4 \text{ mM}$  抗壞血酸。

#### 【0043】反應時間的影響與 dsDNA-CuNCs 的表現

【0044】為了加速使用 dsDNA-CuNCs 作為螢光探針的 PCR 產物之偵測，探討了 dsDNA 與 CuNCs 之間的反應時間對偵測正常型外顯子的影響 (圖 8)。螢光強度在 3 分鐘後達到最大峰值，之後開始減少。因此，本研究選擇 3 分鐘之反應時間。為了辨別 DMD 之正常或重複型，於上述圖中可觀察到，重複型的螢光強度較正常型的高出 600 RFU。這些結果證實使用 dsDNA-CuNCs 方法測定 DMD 之缺失型或重複型提供一個診斷螢光訊號

的模式的簡易方法。

**【0045】 其他外顯子的應用與真實樣本的診斷**

**【0046】 為了闡明該策略是否可應用至其他外顯子的偵測，亦測試外顯子 45 與 47 (圖 9)。6 個臨床樣本係來自醫院，所有樣本與 MLPA 方法有相同的結果。結果分別包含來自外顯子 45 至 47 的 5 個缺失型與 1 個重複型 (表 1)。此結果指出該方法具有 DMD 診斷的潛力。**

**【0047】 表 1、以 MLPA 及 dsDNA-CuNCs 方法檢測 DMD 的基因型的結果差異**

對象 (患者編號)	MLPA	dsDNA-CuNCs
1	del 外顯子 45-47	del 外顯子 45-47
2	del 外顯子 45-47	del 外顯子 45-47
3	del 外顯子 45-47	del 外顯子 45-47
4	del 外顯子 45-47	del 外顯子 45-47
5	del 外顯子 45-47	del 外顯子 45-47
6	dup 外顯子 45-47	dup 外顯子 45-47

del = 缺失；dup = 重複

## 【序列表】

<110> 高雄醫學大學

<120> 用於偵測樣本中目標 DNA 的寡核苷酸及方法 / OLIGONUCLEOTIDE AND METHOD FOR DETECTING TARGET DNA IN A SAMPLE

<130> 2416-KMU-TW

<160> 7

● <170> PatentIn version 3.5

<210> 1

<211> 23

<212> DNA

<213> 人工序列

<220>

<223> 用於形成 CuNC 的合成 DNA

● <220>

<221> misc\_feature

<222> (1)..(23)

<400> 1

ttaccccttccct ccgcaataact gca

23

<210> 2

<211> 44

<212> DNA

<213> 人工序列

<220>

<223> 引子

<220>

<221> misc\_feature

<222> (1) . . (44)

<400> 2

ttacaccttccct ccgcaataact gcaagacatg gggcttcatt tttg

44

<210> 3

<211> 43

<212> DNA

<213> 人工序列

<220>

223 <引子>

<220>

<221> misc\_feature

<222> (1)..(43)

<400> 3

t taccc ttccct ccgcaatact gcatgttagt gcctttcacc ctg

43

<210> 4

<211> 43

<212> DNA

<213> 人工序列

-220-

<223> 引子

<220>

<221> misc\_feature

<222> (1)..(43)

<400> 4

ttaccccttccctt ccgcaataact gcattgccat gtttgtgtcc cag

43

● <210> 5

<211> 44

<212> DNA

<213> 人工序列

<220>

<223> 引子

<220>

<221> misc\_feature

● <222> (1)..(44)

<400> 5

ttaccccttccctt ccgcaataact gcattggcag aaaacccaatg atttg

44

<210> 6

<211> 45

<212> DNA

<213> 人工序列

<220>

<223> 引子

<220>

<221> misc\_feature

<222> (1)..(45)

<400> 6

ttaccccttccctt ccgcaataactt gcaagacaaggttagttggaa ttgtg

45

<210> 7

<211> 43

<212> DNA

<213> 人工序列

<220>

<223> 引子

<220>

<221> misc\_feature

<222> (1)..(43)

<400> 7

ttaccccttccctt ccgcaataactt gcaacatgtg acggaagaga tgg

43

## 申請專利範圍

1. 一種寡核苷酸，其包含一由 SEQ ID NO: 1 所組成的核苷酸序列。
2. 如申請專利範圍第 1 項所述之寡核苷酸，其中該寡核苷酸形成雙股寡核苷酸後，該雙股寡核苷酸可進一步與銅離子形成一奈米銅粒子並發出螢光。
3. 一種用於一樣本中偵測目標 DNA 的方法，其包含：  
提供一正向引子，其具有一與該目標 DNA 的一部份互補的 3' 端及一包含一由 SEQ ID NO: 1 所組成的核苷酸序列的 5' 端；及一反向引子，其具有一與該目標 DNA 的一部份互補的 3' 端及一包含該由 SEQ ID NO: 1 所組成的核苷酸序列的 5' 端；  
利用該正向引子與該反向引子 PCR 擴增該目標 DNA；  
將一包含銅離子的溶液及一還原試劑加入該 PCR 擴增的一產物以與該由 SEQ ID NO: 1 所組成的核苷酸序列形成一奈米銅粒子，其造成螢光放射；及  
偵測該螢光放射。
4. 如申請專利範圍第 3 項所述之方法，其中該包含銅離子的溶液為  $\text{CuSO}_4$  溶液。
5. 如申請專利範圍第 3 項所述之方法，其中該還原試劑為抗壞血酸鈉。
6. 如申請專利範圍第 3 項所述之方法，其中該目標 DNA 為一目標基因之一外顯子。

## 圖式

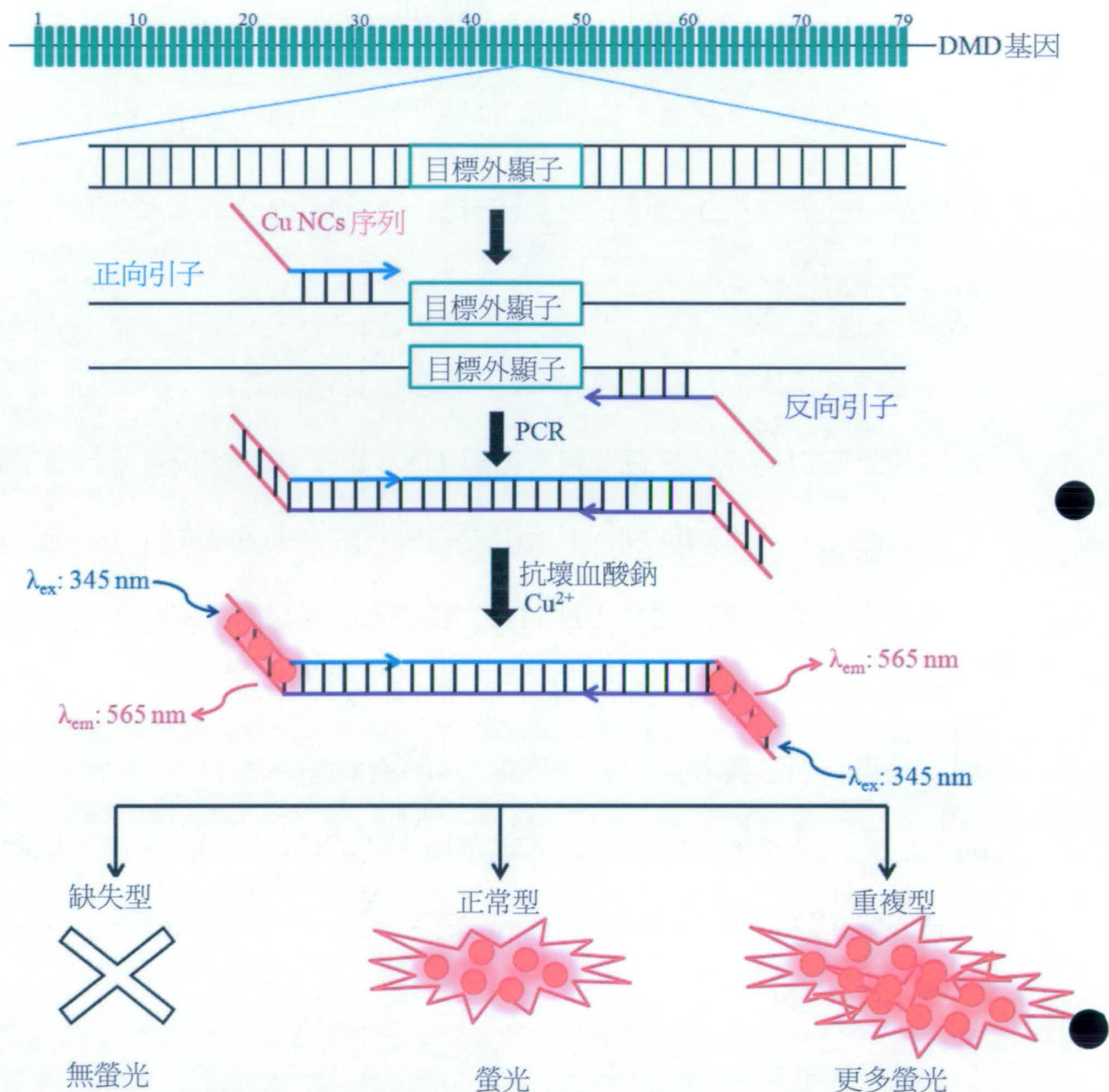


圖 1

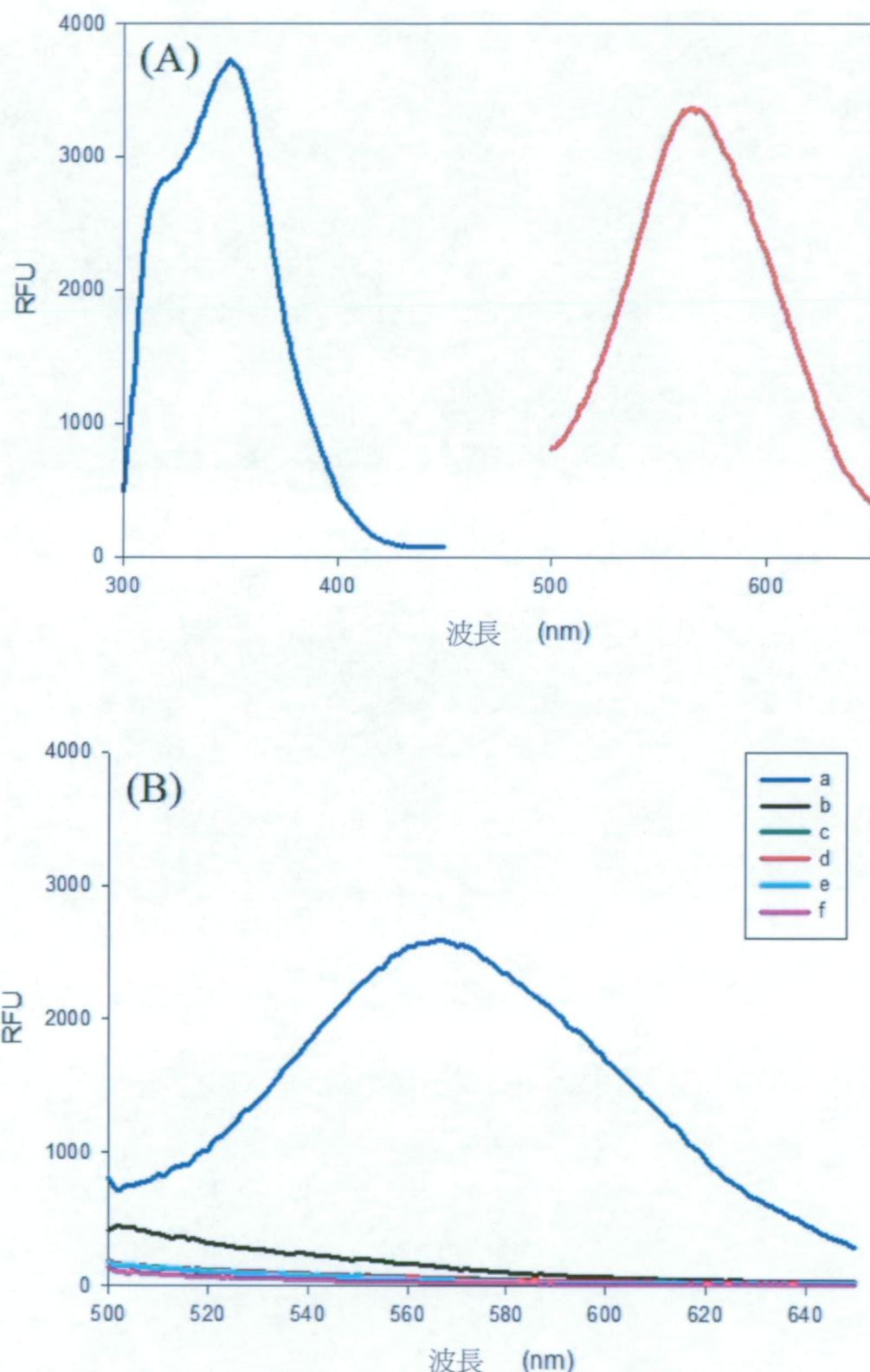


圖 2

I567087

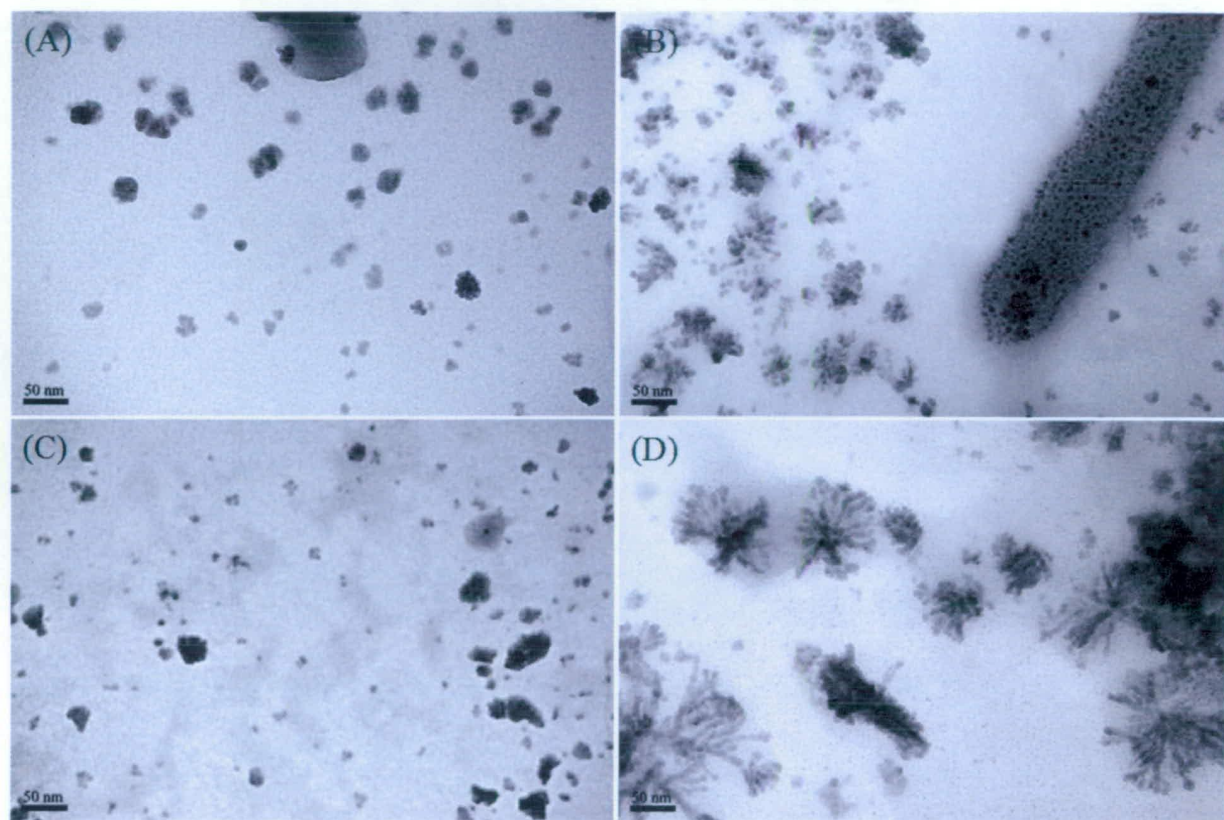


圖 3

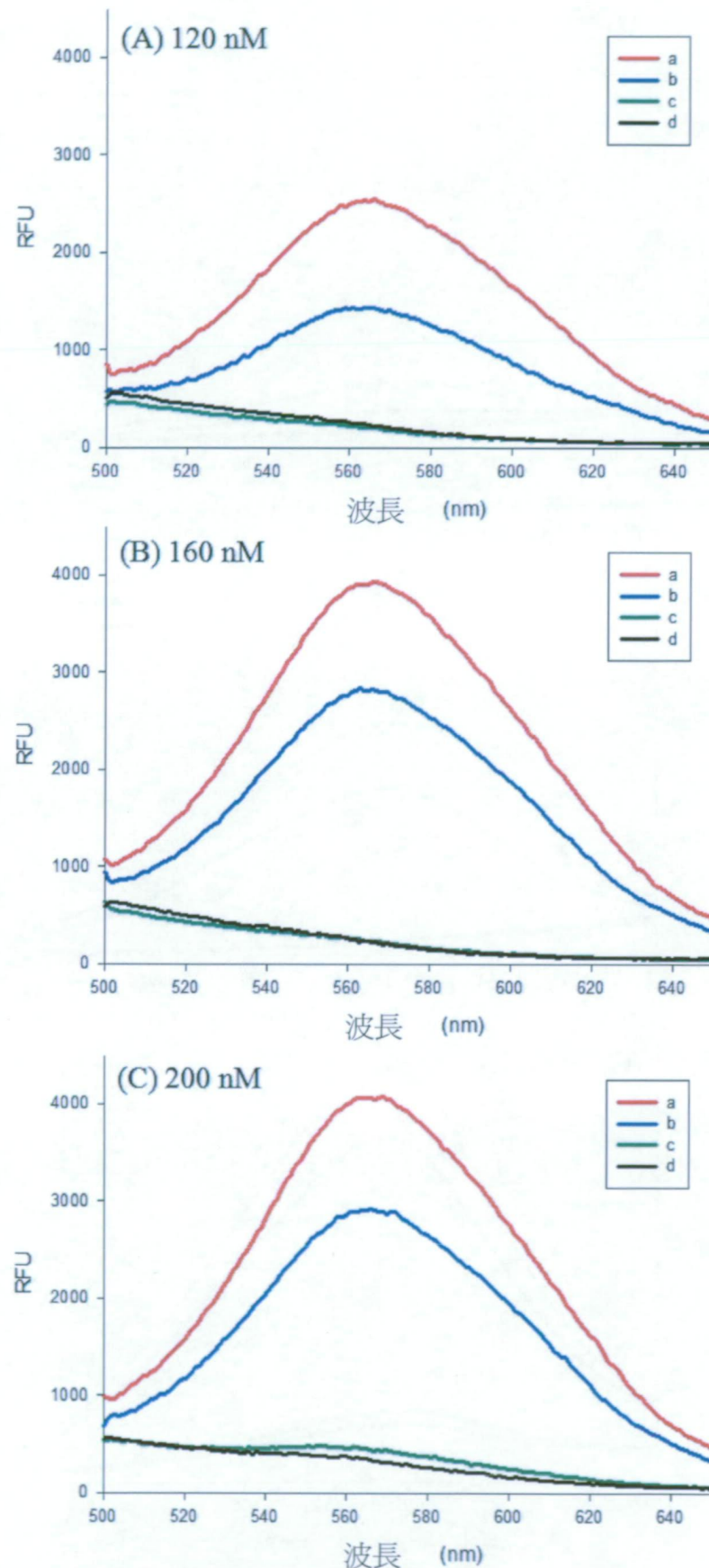


圖 4

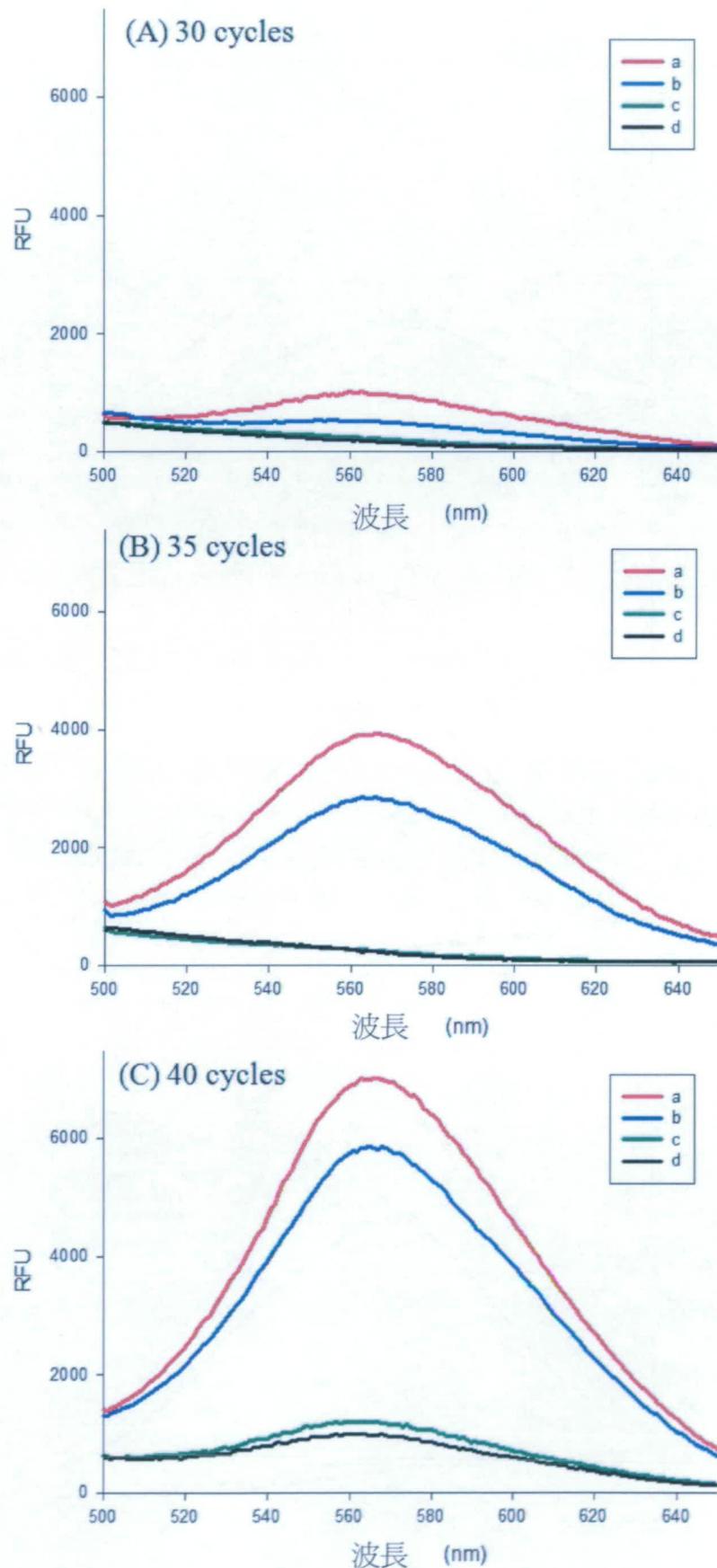


圖 5

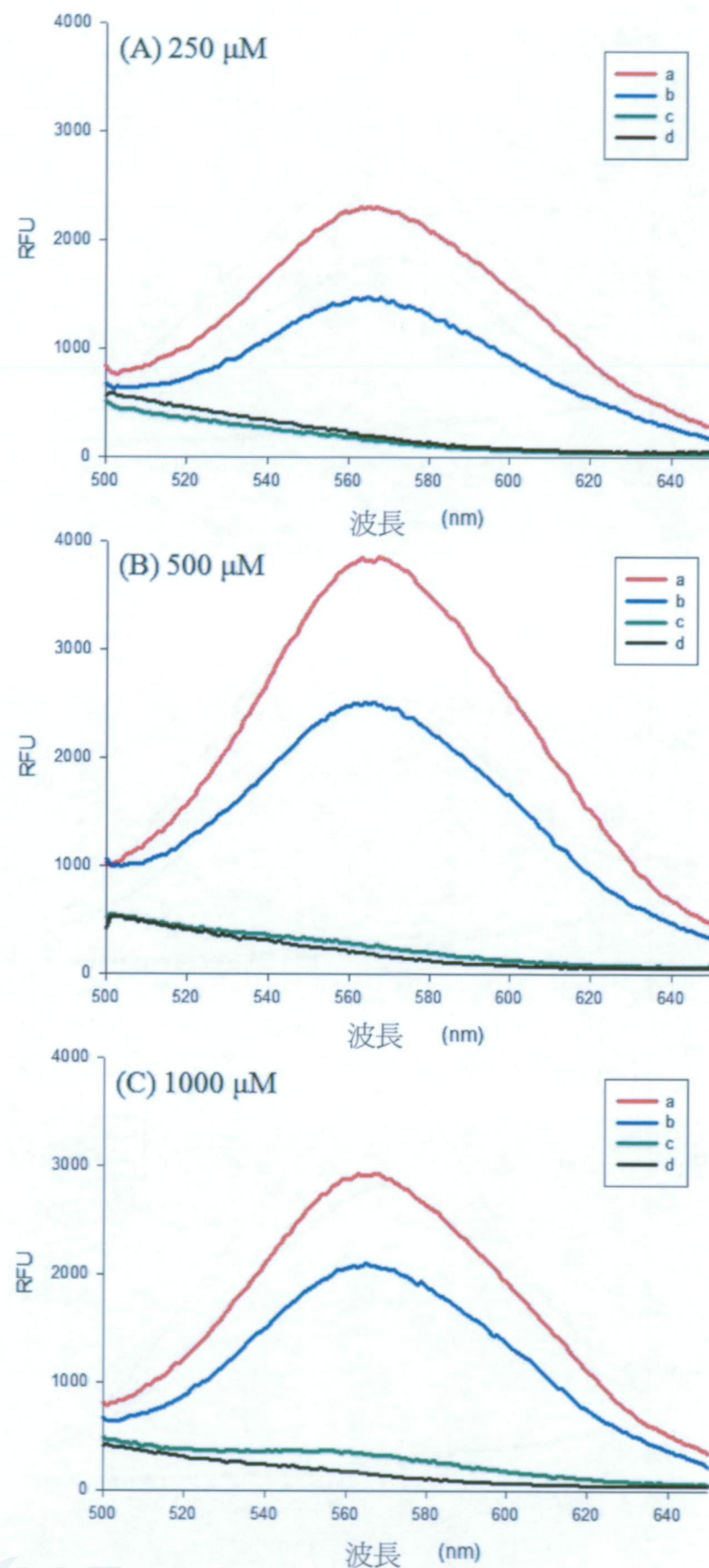


圖 6

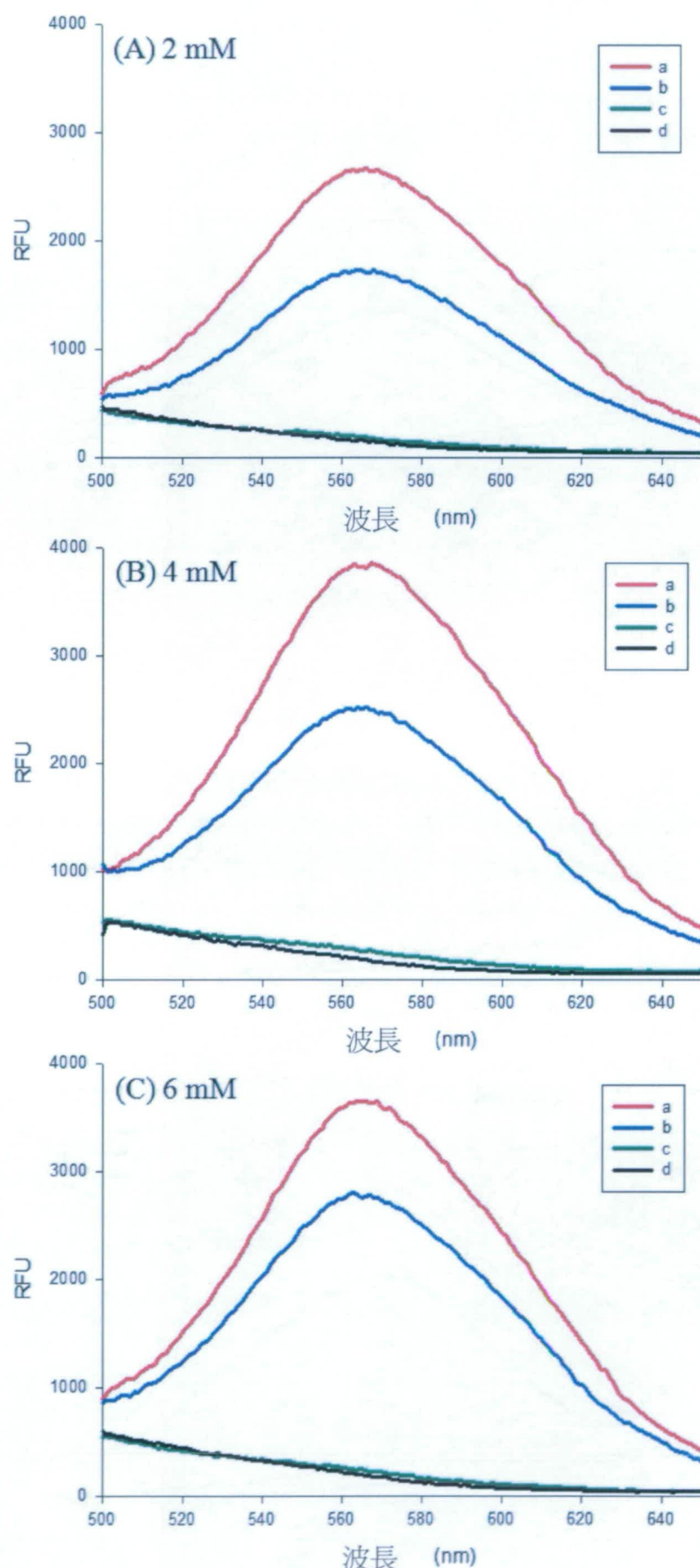


圖 7

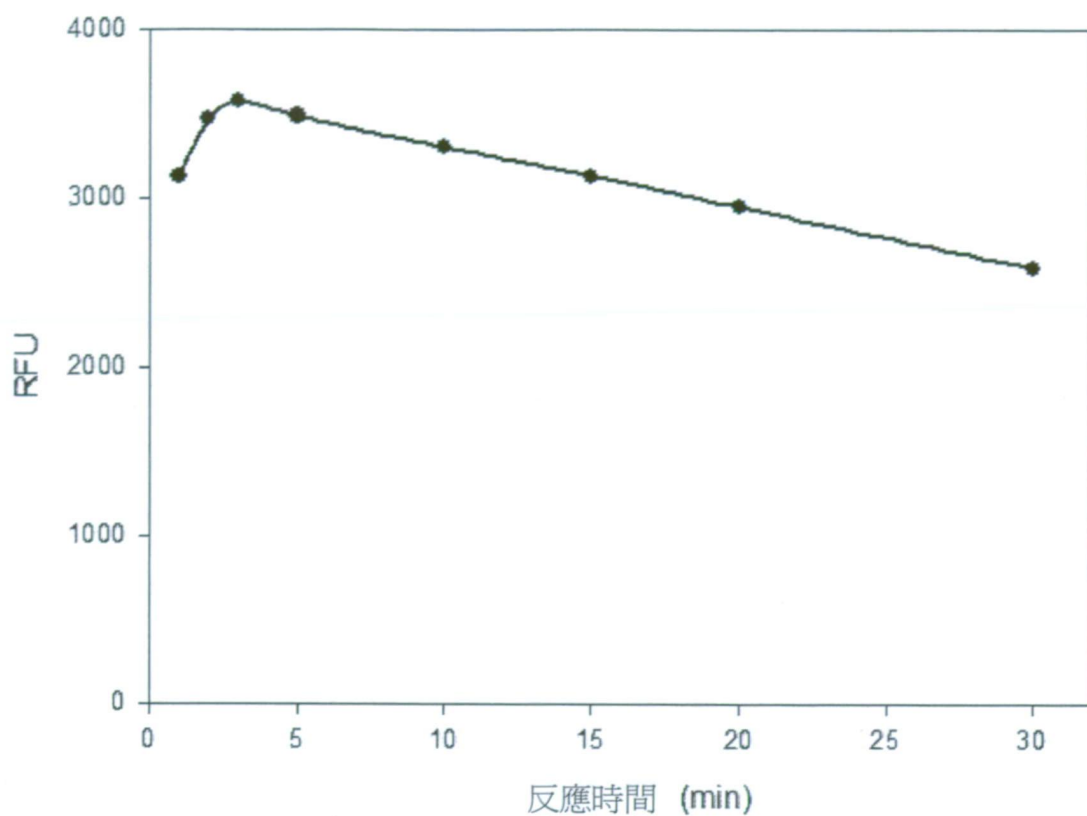


圖 8

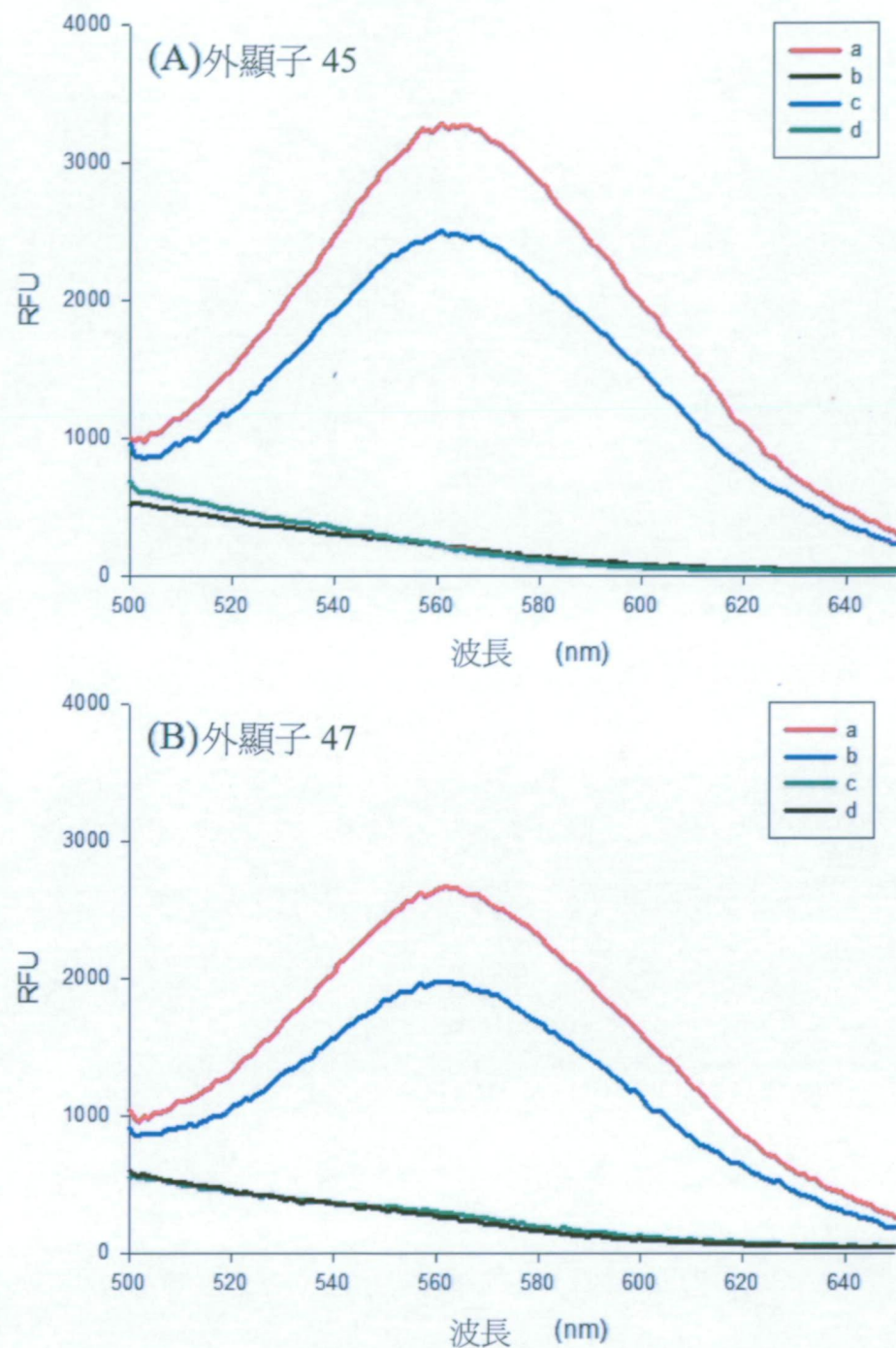


圖 9